

# ПОЛУКЛАССИЧЕСКОЕ ОПИСАНИЕ ОНДУЛЯТОРНОГО ИЗЛУЧЕНИЯ

***A. A. Шишимарев<sup>a,b\*</sup>, A. Д. Левин<sup>c\*\*</sup>, В. Г. Багров<sup>b,a\*\*\*</sup>, Д. М. Гитман<sup>c,d\*\*\*\*</sup>***

*<sup>a</sup> Институт сильноточной электроники Сибирского отделения Российской академии наук  
634055, Томск, Россия*

*<sup>b</sup> Физический факультет, Томский государственный университет  
634050, Томск, Россия*

*<sup>c</sup> Институт физики, Университет Сан-Паулу  
05508-090, Сан-Паулу, СП, Бразилия*

*<sup>d</sup> Физический институт им. П. Н. Лебедева Российской академии наук  
119991, Москва, Россия*

Поступила в редакцию 1 сентября 2020 г.,  
после переработки 24 октября 2020 г.  
Принята к публикации 24 октября 2020 г.

Представлено полуклассическое приближение для вычисления излучения от классических токов. В частности, использованы точные квантовые состояния квантованного электромагнитного поля, взаимодействующего с классическими токами, для вычисления вероятности многофотонного излучения в том случае, когда начальное состояние электромагнитного поля было вакуумом. Мы изучаем характеристики электромагнитного излучения плоского ондулятора, находим полную излученную энергию и ее спектрально-угловое распределение, а также сравниваем наши результаты с результатами, полученными в рамках классической электродинамики, обсуждаем различия, появляющиеся в результате точного учета квантовой природы электромагнитного излучения, и приводим некоторые численные вычисления, подтверждающие это обсуждение. В Приложении приведено вычисление излученной энергии, выполненное с помощью альтернативной параметризации траектории электронов, движущихся в планарном ондуляторе.

**DOI:** 10.31857/S0044451021020097

## 1. ВВЕДЕНИЕ

В общем случае, заряженные частицы, движущиеся с ускорением, испускают электромагнитное излучение. К примеру, синхротронное излучение (СИ) сопровождает движение заряженных частиц по круговым траекториям, которое может быть вызвано наличием внешнего магнитного поля [1]. СИ имеет множество важных применений в физике, медицине и промышленности (см., к примеру, [2]). Гинзбург в работе [3] впервые предложил применение быстро движущихся заряженных частиц в качестве источника излучения, см. также [4]. Другим

источником излучения, тесно связанным с СИ, являются периодические магнитные структуры, которые называются ондуляторами или вигглерами. Оригинальное название «ондулятор» было предложено Мотцем [5], предложившим несколько применений для таких источников излучения, а именно: генерацию энергии в конкретных диапазонах спектра (от миллиметрового до инфракрасного излучения), контроль скорости электронных пучков в ускорителях, измерение скорости быстро движущихся электронов или других частиц, таких как мезоны или протоны.

В рамках классической электродинамики формула для углового распределения мощности СИ была впервые получена Шоттом [6]. Альтернативный способ получения этого выражения и его глубокий анализ, в особенности для высокозенергетических релятивистских электронов, был представлен Швин-

---

\* E-mail: a.a.shishmarev@mail.ru

\*\* E-mail: alexander.d.levin@gmail.com

\*\*\* E-mail: bagrov@phys.tsu.ru

\*\*\*\* E-mail: dmitrygitman@hotmail.com

гером [7]. Квантовые поправки к классическому результату и обсуждение их значимости были впервые приведены в работе [8]. Последовательный расчет таких поправок впервые появился в работах [9], где использовалась картина Фарри [10] (иными словами, точные решения уравнения Дирака с магнитным полем). Используя собственную теорию источников [11], Швингер позже представил оригинальный способ получения схожих результатов [12]. Новый промежуточный подход для описания СИ, в котором ток электронов рассматривается классически, тогда как квантовая природа излучения учитывается точно, был представлен в работе [13].

До сих пор большая часть работ по излучению электронов, движущихся в ондуляторах, проводилась с применением методов классической электродинамики. В этих подходах ондуляторное излучение (ОИ) вычисляется с помощью потенциалов Лиенара – Вихерта для высокогенеретического электрона. Эти потенциалы позволяют найти электрическое и магнитное поля, которые, в свою очередь, используются для вычисления потока энергии, интенсивности или мощности при помощи вектора Умова – Пойнтинга. В 1951 году Мотц [5] предложил схему планарного ондулятора и исследовал излучение электронов, движущихся в таком устройстве. Важный вклад в изучение проблемы ОИ внесли авторы работ [14]. В частности, было вычислено излучение электронов в спиральном ондуляторе и представлены спектрально-угловые распределения интенсивности излучения в различных приближениях. Излучение релятивистских электронов, движущихся в планарном ондуляторе, в частности, в устройстве конечной длины, изучалась в работах [15, 16]. Полученные результаты часто интерпретировались в терминах излученных фотонов, например, в работах [5, 14]. В работах Байера и др. [17] использовался метод Швингера и некоторые подходящие приближения для вычисления спектрально-углового распределения интенсивности излучения электронов, движущихся в периодических магнитных структурах.

Аргументы, приведенные Швингером [8] в пользу того факта, что при описании СИ квантовые поправки могут в определенных условиях вносить в излучение существенный вклад, остаются справедливыми и для ОИ. Здесь возникает следующая проблема. Как правило, последовательное квантовое описание процессов излучения заряженных частиц в сильных внешних полях (в рамках квантовой электродинамики) формулируется в так называемой картине Фарри [10] и основывается на знании точных решений уравнений Дирака или Клей-

на – Гордона в таких полях. Другие известные методы, например, метод Швингера, связаны с использованием дополнительных приближений. Если для описания СИ точные решения таких волновых уравнений с постоянными и однородными магнитными полями известны и хорошо изучены, то для случая описания ОИ точные решения в периодических магнитных структурах до сих пор не найдены. В связи с этим в работе [13] мы предложили подход к описанию квантовых свойств излучения тока заряженных частиц, который не требует использования картины Фарри, а именно сложной техники работы с точными решениями. В этом подходе электрические токи, генерирующие излучение, рассматриваются классическим образом, тогда как квантовая природа электромагнитного поля учитывается точно. Здесь и далее в статье мы называем такой способ вычисления излучения полуклассическим приближением. Естественно, что полуклассическое приближение имеет свою область применимости; в частности, в нем не учитывается эффект обратного влияния поля излучения на заряженные частицы. Однако, оно может быть полезно в некоторых случаях. Например, оно позволяет вычислять одно- и многофотонное излучение без необходимости усложнять расчеты использованием соответствующих решений уравнения Дирака. Эффективность полуклассического приближения была показана на примере вычисления СИ.

Данная статья организована следующим образом. В разд. 2 мы приводим полуклассическое приближение для описания излучения от классических токов. В частности, мы используем точные квантовые состояния квантованного электромагнитного поля, взаимодействующие с классическими токами. Эти состояния используются для вычисления вероятности многофотонного излучения из вакуумного начального состояния электромагнитного поля. Таким образом, в разд. 3 мы изучаем характеристики электромагнитного излучения в планарном ондуляторе в полуклассическом приближении. Мы находим полную излученную энергию и ее спектрально-угловое распределение. В разд. 4 мы сравниваем наши результаты с теми, которые были получены в рамках классической электродинамики, обсуждаем отличия, появляющиеся в результате точного учета квантовой природы электромагнитного излучения, и приводим некоторые численные вычисления, подтверждающие это обсуждение. В Приложении для вычисления излученной энергии мы используем альтернативную параметризацию траектории электронов, движущихся в планарном ондуляторе.

## 2. ЭЛЕКТРОМАГНИТНОЕ ИЗЛУЧЕНИЕ КЛАССИЧЕСКОГО ТОКА В ПОЛУКЛАССИЧЕСКОМ ПРИБЛИЖЕНИИ

Полуклассическое приближение, рассмотренное в работе [13], основывается на возможности построить точные квантовые состояния электромагнитного поля, взаимодействующего с классическими токами. С помощью таких состояний можно вычислять вероятность излучения фотона и выводить спектрально-угловое распределение энергии, испускаемой в процессе однофотонного или многофотонного излучения. Ниже мы приводим эти формулы, детальный вывод которых читатель может найти в упомянутой работе [13].

В общем случае классический ток  $j^\mu(x) = (j^0(x), j^i(x), i = 1, 2, 3)$ , взаимодействующий с электромагнитным полем, влияет на его квантовые состояния. Дифференциальная вероятность  $P(\mathbf{k}_1\lambda_1, \dots, \mathbf{k}_N\lambda_N; t)$  излучения из вакуумного состояния  $N$  фотонов, каждый из которых характеризуется волновым вектором  $\mathbf{k}_a$  и поляризацией  $\lambda_a$ ,  $a = 1, 2, \dots, N$ , за временной интервал  $t$ , имеет вид

$$\begin{aligned} P(\mathbf{k}_1\lambda_1, \dots, \mathbf{k}_N\lambda_N; t) &= \\ &= p(\mathbf{k}_1\lambda_1, \dots, \mathbf{k}_N\lambda_N; t)P(0; t), \\ P(0; t) &= \exp \left( -\sum_{\lambda=1}^2 \int d\mathbf{k} |y_{\mathbf{k}\lambda}(t)|^2 \right), \\ p(\mathbf{k}_1\lambda_1, \dots, \mathbf{k}_N\lambda_N; t) &= (N!)^{-1} \prod_{a=1}^N |y_{\mathbf{k}_a\lambda_a}(t)|^2. \end{aligned} \quad (1)$$

Здесь  $P(0; t)$  — вероятность перехода из вакуума в вакуум (вероятность перехода без излучения фотонов), а величина  $p(\mathbf{k}_1\lambda_1, \dots, \mathbf{k}_N\lambda_N; t)$  может интерпретироваться как относительная вероятность излучения  $N$  фотонов. Функции  $y_{\mathbf{k}\lambda}(t)$  определяются как

$$\begin{aligned} y_{\mathbf{k}\lambda}(t) &= i\sqrt{\frac{4\pi}{\hbar c}} \int_0^t dt' \int j^i(x') f_{\mathbf{k}\lambda}^{i*}(x') dr', \\ f_{\mathbf{k}\lambda}^i(x) &= \frac{\exp[-i(k_0 ct - \mathbf{k}\mathbf{r})]}{\sqrt{2k_0(2\pi)^3}} \epsilon_{\mathbf{k}\lambda}^i, \quad k_0 = |\mathbf{k}|, \end{aligned} \quad (2)$$

где  $\epsilon_{\mathbf{k}\lambda}^i$  — это векторы поляризации фотонов с квантовыми числами  $\mathbf{k}$ ,  $\lambda$ <sup>1)</sup>. Они перпендикулярны волновому вектору  $\mathbf{k}$  и обладают свойствами

<sup>1)</sup> Здесь и далее мы используем соглашение о суммировании по немым индексам, т. е.  $a^i b^i = \sum_i a^i b^i$ , если прямо не сказано обратное.

$$\begin{aligned} \epsilon_{\mathbf{k}\lambda} \epsilon_{\mathbf{k}\sigma}^* &= \delta_{\lambda\sigma}, \quad \epsilon_{\mathbf{k}\lambda} \mathbf{k} = 0, \\ \sum_{\lambda=1}^2 \epsilon_{\mathbf{k}\lambda}^i \epsilon_{\mathbf{k}\lambda}^{j*} &= \delta^{ij} - k^i k^j |\mathbf{k}|^{-2}. \end{aligned} \quad (3)$$

В нашем рассмотрении эти векторы выбираются в следующем виде:

$$\begin{aligned} \mathbf{k} &= (k_0 \sin \theta \cos \varphi, k_0 \sin \theta \sin \varphi, k_0 \cos \theta), \\ \epsilon_{\mathbf{k}1} &= (\cos \varphi \cos \theta, \sin \varphi \cos \theta, -\sin \theta), \\ \epsilon_{\mathbf{k}2} &= (-\sin \varphi, \cos \varphi, 0), \\ \epsilon_{\mathbf{k}1} \cdot \epsilon_{\mathbf{k}1} &= \epsilon_{\mathbf{k}2} \cdot \epsilon_{\mathbf{k}2} = 1, \\ \epsilon_{\mathbf{k}1} \cdot \epsilon_{\mathbf{k}2} &= \epsilon_{\mathbf{k}1} \cdot \mathbf{k} = \epsilon_{\mathbf{k}2} \cdot \mathbf{k} = 0. \end{aligned} \quad (4)$$

Энергия  $N$  фотонов с заданными квантовыми числами  $\mathbf{k}_a\lambda_a$  зависит только от их импульсов  $\mathbf{k}_a$  и не зависит от их поляризаций; она равна

$$W(\mathbf{k}_1\lambda_1, \dots, \mathbf{k}_N\lambda_N) = \hbar c \sum_{a=1}^N |\mathbf{k}_a|. \quad (5)$$

Таким образом, энергия, излученная в процессе, имеет вид

$$\begin{aligned} W(\mathbf{k}_1\lambda_1, \dots, \mathbf{k}_N\lambda_N; t) &= \\ &= W(\mathbf{k}_1\lambda_1, \dots, \mathbf{k}_N\lambda_N) P(\mathbf{k}_1\lambda_1, \dots, \mathbf{k}_N\lambda_N; t). \end{aligned} \quad (6)$$

Для того чтобы найти энергию  $W(N; t)$ , излученную всеми  $N$ -фотонными процессами, мы суммируем (6) по всем возможным квантовым числам  $\mathbf{k}_a$ ,  $\lambda_a$ :

$$\begin{aligned} W(N; t) &= \hbar c (N!)^{-1} P(0; t) \times \\ &\times \sum_{\lambda_1=1}^2 \sum_{\lambda_2=1}^2 \dots \sum_{\lambda_N=1}^2 \int d\mathbf{k}_1 d\mathbf{k}_2 \dots d\mathbf{k}_N \times \\ &\times \left[ \sum_{b=1}^N |\mathbf{k}_b| \right] \prod_{a=1}^N |y_{\mathbf{k}_a\lambda_a}(t)|^2. \end{aligned} \quad (7)$$

Правая часть уравнения (7) может быть представлена как

$$\begin{aligned} W(N; t) &= \frac{A}{(N-1)!} \times \\ &\times P(0; t) \left( \sum_{\lambda=1}^2 \int d\mathbf{k} |y_{\mathbf{k}\lambda}(t)|^2 \right)^{N-1}, \\ A &= \hbar c \sum_{\lambda=1}^2 \int d\mathbf{k} k_0 |y_{\mathbf{k}\lambda}(t)|^2. \end{aligned} \quad (8)$$

Суммируя эту величину по  $N$ , найдем полную энергию  $W(t)$  всех излученных фотонов:

$$\begin{aligned} W(t) &= \sum_{N=1}^{\infty} W(N; t) = \hbar c \sum_{\lambda=1}^2 \int d\mathbf{k} k_0 p_{\mathbf{k}\lambda}(t), \\ p_{\mathbf{k}\lambda}(t) &= |y_{\mathbf{k}\lambda}(t)|^2. \end{aligned} \quad (9)$$

### 3. ИЗЛУЧЕНИЕ В ПЛАНАРНОМ ОНДУЛЯТОРЕ В ПОЛУКЛАССИЧЕСКОМ ПРИБЛИЖЕНИИ

Рассмотрим электрон, который движется в планарном ондуляторе вдоль оси  $z$  в плоскости  $xz$  ( $y = 0$ ), совершая поперечные колебания вдоль оси  $x$  с частотой  $\omega_p$ . Динамика и излучение электронов, движущихся в таком устройстве, впервые были рассмотрены в работе [5] и позднее более детально в работах [14, 18], см. также [19]. Электронный ток в этом случае принимает вид

$$j^i(x) = ev^i(t)\delta(x-x(t))\delta(y-y(t))\delta(z-z(t)),$$

$$v^i(t) = (\dot{x}(t), \dot{y}(t), \dot{z}(t)),$$

$$\begin{aligned} x(t) &= \frac{K}{\gamma} \frac{\lambda_p}{2\pi} \cos(\omega_p t), \quad y(t) = 0, \\ z(t) &= c\beta_0 t + \frac{K^2}{\gamma^2} \frac{\lambda_p}{16\pi} \sin(2\omega_p t), \\ \dot{x}(t) &= -c\beta_0 \frac{K}{\gamma} \sin(\omega_p t), \quad \dot{y}(t) = 0, \\ \dot{z}(t) &= c\beta_0 \left[ 1 + \frac{K^2}{4\gamma^2} \cos(2\omega_p t) \right], \\ \omega_p &= 2\pi c\beta_0 \lambda_p^{-1}, \quad K = \frac{eH\lambda_p}{2\pi m_0 c^2}, \\ \beta_0 &= \beta \left( 1 - \frac{K^2}{4\gamma^2} \right), \quad \beta = \frac{v}{c}, \end{aligned} \tag{10}$$

где параметр  $K$  — это так называемый параметр силы ондулятора,  $\lambda_p$  — длина одного периода ондулятора,  $\gamma$  — лоренц-фактор,  $v$  — скорость частицы,  $\beta_0$  — средняя скорость смещения частицы вдоль оси  $z$ ,  $m_0$  — масса покоя электрона, а  $H$  — напряженность магнитного поля в ондуляторе. В большинстве случаев, представляющих интерес, параметр  $K$  удовлетворяет неравенству  $K \leq 1$  (слабые ондуляторы). Однако для любого реалистичного значения  $K$  отношение  $K/\gamma$  весьма мало для релятивистского электрона,  $K/\gamma \ll 1$ , и  $\beta_0 \approx \beta$ .

Вычислим излучение, генерируемое током (10), используя формулы, приведенные в разд. 2. Представляя ток  $j^i(x)$  в (2) и используя представление (4) для волнового вектора  $\mathbf{k}$  и векторов поляризации  $\epsilon_{\mathbf{k}\lambda}$ , запишем функцию  $y_{\mathbf{k}\lambda}(t)$  для случая планарного ондулятора как

$$\begin{aligned} y_{\mathbf{k}\lambda}(t) &= iec\beta_0 \left[ \hbar ck_0 (2\pi)^2 \right]^{-1/2} \times \\ &\times \int_0^t dt' A_\lambda(\theta, \varphi, t') \exp[i\kappa(t')], \\ A_1(\theta, \varphi, t) &= -\sin\theta \left[ 1 + \frac{K^2}{4\gamma^2} \cos(2\omega_p t) \right] - \\ &- \cos\varphi \cos\theta \frac{K}{\gamma} \sin(\omega_p t), \end{aligned} \tag{11}$$

$$A_2(\theta, \varphi, t) = \sin\varphi \frac{K}{\gamma} \sin(\omega_p t),$$

$$\kappa(t) = ck_0 t (1 - \beta_0 \cos\theta) - u \cos\omega_p t - s \sin(2\omega_p t),$$

$$u = \frac{K}{\gamma} \frac{\lambda_p}{2\pi} k_0 \sin\theta \cos\varphi, \quad s = k_0 \frac{K^2}{\gamma^2} \frac{\lambda_p}{16\pi} \cos\theta,$$

и функции  $p_{\mathbf{k}\lambda}(t)$  как

$$\begin{aligned} p_{\mathbf{k}\lambda}(t) &= \frac{e^2 c^2 \beta_0^2}{\hbar ck_0 (2\pi)^2} \times \\ &\times \left| \int_0^t dt' A_\lambda(\theta, \varphi, t') \exp[i\kappa(t')] \right|^2. \end{aligned} \tag{12}$$

Далее, мы преобразуем экспоненту в уравнении (12), используя следующие разложения тригонометрических функций в терминах функций Бесселя [20]:

$$\begin{aligned} \exp(-iu \cos\omega_p t) &= \\ &= \sum_{n=-\infty}^{+\infty} (-i)^n J_n(u) \exp(-in\omega_p t), \\ \exp(-is \sin 2\omega_p t) &= \\ &= \sum_{m=-\infty}^{+\infty} J_m(s) \exp(-i2m\omega_p t), \end{aligned} \tag{13}$$

чтобы получить

$$\begin{aligned} p_{\mathbf{k}\lambda}(t) &= \frac{e^2 c^2 \beta_0^2}{\hbar ck_0 (2\pi)^2} \times \\ &\times \left| \sum_{n,m=-\infty}^{\infty} J_n(u) J_m(s) e^{-in\pi/2} \times \right. \\ &\times \left. \int_0^t dt' A_\lambda(\theta, \varphi, t') \exp[i\omega_p t' R_{nm}] \right|^2, \end{aligned} \tag{14}$$

$$R_{nm} = ck_0 \omega_p^{-1} (1 - \beta_0 \cos\theta) - n - 2m.$$

Интегрирование по  $dt'$  можно выполнить явно. Для этого введем функции  $B_{1,2,3}(R_{nm}, t)$ :

$$\begin{aligned}
B_1(R_{nm}, t) &= \int_0^t dt' \exp[i\omega_p t' R_{nm}] = \\
&= t \exp\left(\frac{iR_{nm}\omega_p t}{2}\right) \operatorname{sinc}\left(\frac{R_{nm}\omega_p t}{2}\right), \\
\operatorname{sinc}(x) &= \frac{\sin x}{x}, \\
B_2(R_{nm}, t) &= \int_0^t dt' \sin(\omega_p t') \exp[i\omega_p t' R_{nm}] \\
&= -2^{-1}it \left\{ \exp\left[\frac{i(R_{nm}+1)\omega_p t}{2}\right] \times \right. \\
&\quad \times \operatorname{sinc}\left[\frac{(R_{nm}+1)\omega_p t}{2}\right] - \\
&\quad \left. - \exp\left[\frac{i(R_{nm}-1)\omega_p t}{2}\right] \operatorname{sinc}\left[\frac{(R_{nm}-1)\omega_p t}{2}\right] \right\}, \quad (15) \\
B_3(R_{nm}, t) &= \int_0^t dt' \cos(2\omega_p t') \exp[i\omega_p t' R_{nm}] = \\
&= 2^{-1}t \left\{ \exp\left[\frac{i(R_{nm}+2)\omega_p t}{2}\right] \times \right. \\
&\quad \times \operatorname{sinc}\left[\frac{(R_{nm}+2)\omega_p t}{2}\right] + \\
&\quad \left. + \exp\left[\frac{i(R_{nm}-2)\omega_p t}{2}\right] \operatorname{sinc}\left[\frac{(R_{nm}-2)\omega_p t}{2}\right] \right\}.
\end{aligned}$$

Подставляя (14) в (9) и принимая во внимание (15), получаем выражение для полной энергии  $W(t)$ :

$$\begin{aligned}
W(t) &= \left(\frac{ec\beta_0}{2\pi}\right)^2 \int_0^\infty k_0^2 dk_0 \int_0^\pi \sin\theta d\theta \times \\
&\times \int_0^{2\pi} d\varphi \left( \left| \sum_{n,m=-\infty}^{\infty} J_n(u) J_m(s) e^{-in\pi/2} \times \right. \right. \\
&\times \left\{ \left[ \frac{K^2}{4\gamma^2} B_1(R_{nm}, t) + B_3(R_{nm}, t) \right] \sin\theta + \right. \\
&+ B_2(R_{nm}, t) \frac{K}{\gamma} \cos\varphi \cos\theta \left. \right\|^2 + \\
&+ \left| \sum_{n,m=-\infty}^{\infty} J_n(u) J_m(s) e^{-in\pi/2} \times \right. \\
&\times \left. B_2(R_{nm}, t) \frac{K}{\gamma} \sin\varphi \right|^2 \right). \quad (16)
\end{aligned}$$

#### 4. СРАВНЕНИЕ С КЛАССИЧЕСКИМ ПОДХОДОМ

Сравнивая выражение (16), полученное в полуklassическом приближении, со спектрально-угло-

вым распределением излучаемой энергии, полученным в рамках классической электродинамики (см., например, [19]), можно видеть, что угловое распределение фотонов с поляризациями  $\lambda = 1$  и  $\lambda = 2$  в полуклассическом приближении отличается от классического, тогда как спектральные распределения одинаковы (величина  $ck_0$  соответствует частоте фотона). Отметим, что в основном направлении излучения  $\theta = 0, \varphi = 0$  (излучение на оси) полуклассическое приближение и классический подход дают одинаковые результаты.

Для достаточно долгого периода времени  $t$ , т. е. для ондулятора с большим числом секций, спектр излучения определяется подынтегральным выражением (16) и вырождается в набор узких пиков на значениях  $k_0$ , которые определяются набором условий

$$\begin{aligned}
R_{nm} &= 0, \quad R_{nm} + 1 = 0, \quad R_{nm} - 1 = 0, \\
R_{nm} + 2 &= 0, \quad R_{nm} - 2 = 0. \quad (17)
\end{aligned}$$

В частности, случай  $t \rightarrow \infty$  формально соответствует бесконечному ондулятору. В этом случае можно использовать соотношение

$$\lim_{t \rightarrow \infty} \frac{\sin xt}{x} \rightarrow \pi\delta(x). \quad (18)$$

Это означает, что для бесконечного ондулятора энергетический спектр сконцентрирован в точках, которые определяются условиями (17).

Сравним полученные в полуклассическом приближении спектрально-угловые распределения энергии с теми, которые были получены в рамках классической электродинамики. Из (16) следует, что

$$\begin{aligned}
\frac{d^2W(t)}{d(ck_0)d\Omega} &= c^{-1} \left(\frac{eck_0\beta_0}{2\pi}\right)^2 \times \\
&\times \left\{ \left| \sin\theta \left[ C_1(t) + \frac{K^2}{4\gamma^2} C_3(t) \right] \right|^2 + \right. \\
&+ \left. \left| \cos\varphi \cos\theta \frac{K}{\gamma} C_2(t) \right|^2 + \left| \sin\varphi \frac{K}{\gamma} C_2(t) \right|^2 \right\},
\end{aligned} \quad (19)$$

$$d\Omega = \sin\theta d\theta d\varphi,$$

где функции  $C_{1,2,3}(t)$  заданы как

$$\begin{aligned} C_1(t) &= \int_0^t dt' e^{i\kappa(t')}, \\ C_2(t) &= \int_0^t dt' \sin(\omega_p t') e^{i\kappa(t')}, \\ C_3(t) &= \int_0^t dt' \cos(2\omega_p t') e^{i\kappa(t')} . \end{aligned} \quad (20)$$

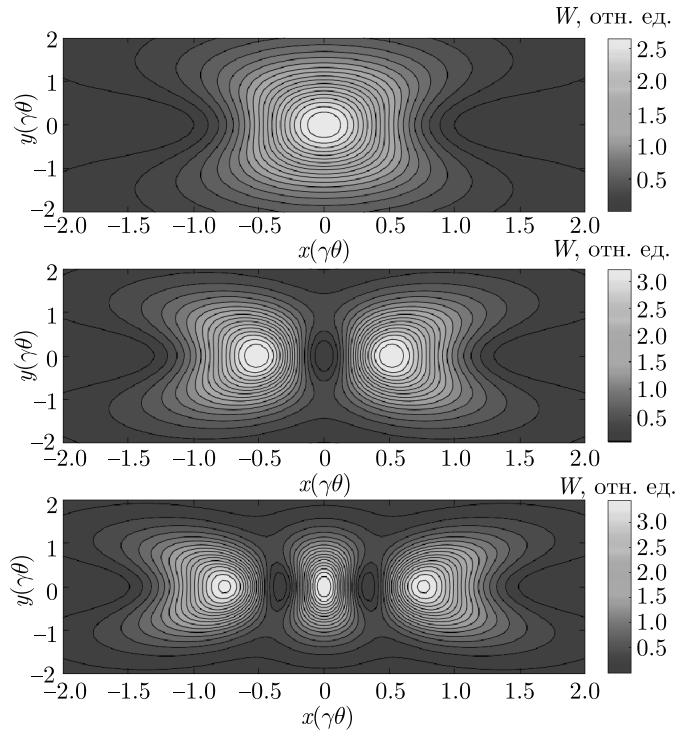
В то же время, спектрально-угловое распределение излученной энергии, полученное классическим методом, имеет вид

$$\begin{aligned} \frac{d^2W(t)}{d(ck_0)d\Omega} &= c^{-1} \left( \frac{eck_0\beta_0}{2\pi} \right)^2 \times \\ &\quad \times |D_1\mathbf{x} + D_2\mathbf{y} + D_3\mathbf{z}|^2, \\ D_1 &= \frac{K}{\gamma} \tilde{C}_2 - \frac{K}{\gamma} \tilde{C}_4 \cos^2 \varphi \sin^2 \theta + \\ &\quad + \cos \varphi \sin \theta \cos \theta \left[ \tilde{C}_1 + \frac{K^2}{4\gamma} \tilde{C}_3 \right], \\ D_2 &= -\frac{K}{\gamma} \tilde{C}_2 \sin \varphi \cos \varphi \sin^2 \theta + \\ &\quad + \cos \varphi \sin \theta \cos \theta \left[ \tilde{C}_1 + \frac{K^2}{4\gamma} \tilde{C}_3 \right], \\ D_3 &= -\frac{K}{\gamma} \tilde{C}_4 \cos \varphi \sin \theta \cos \theta + \\ &\quad + (\cos^2 \theta - 1) \left[ \tilde{C}_1 + \frac{K^2}{4\gamma} \tilde{C}_3 \right], \end{aligned} \quad (21)$$

где  $\mathbf{x}$ ,  $\mathbf{y}$  и  $\mathbf{z}$  — единичные векторы в направлении соответствующих координатных осей, а функции  $\tilde{C}_{1,2,3,4}$  имеют вид

$$\begin{aligned} \tilde{C}_1 &= \int_{-t/2}^{t/2} dt' e^{-i\kappa(t')}, \\ \tilde{C}_2 &= \int_{-t/2}^{t/2} dt' \sin(\omega_p t') e^{-i\kappa(t')}, \\ \tilde{C}_3 &= \int_{-t/2}^{t/2} dt' \cos(2\omega_p t') e^{-i\kappa(t')}, \\ \tilde{C}_4 &= \int_{-t/2}^{t/2} dt' \cos(\omega_p t') e^{-i\kappa(t')}. \end{aligned} \quad (22)$$

Можно видеть, что распределения (19) и (21), полученные соответственно полуклассическим и клас-



**Рис. 1.** Полное пространственное угловое распределение полной излученной энергии для первых трех гармоник, вычисленное в полуklassическом приближении

сическим методами, существенно различаются в общем случае. Тем не менее, оба выражения могут быть сведены к одному и тому же виду:

$$\begin{aligned} \frac{d^2W(t)}{d(ck_0)d\Omega} &\approx c^{-1} \left( \frac{e\beta_0 ck_0}{2\pi} \right)^2 \times \\ &\quad \times \left[ \theta^2 \cos^2 \varphi |C_1|^2 + \theta^2 \sin^2 \varphi |C_1|^2 + \right. \\ &\quad \left. + \frac{K^2}{\gamma^2} |C_2|^2 + \frac{K}{\gamma} \theta \cos \varphi (C_1 C_2^* + C_1^* C_2) \right] \end{aligned} \quad (23)$$

для планарных ондуляторов, в которых  $K/\gamma \ll 1$  и в приближении  $\theta \ll 1$ , если учесть, что время пролета электрона через ондулятор составляет  $t = 2\pi N\omega_p^{-1}$ . Численный анализ обеих формул подтверждает эти выводы. Соответствующие результаты представлены на рис. 1.

Отметим, что часто при описании поляризационных свойств излученной энергии  $W(t)$  используются так называемые  $\sigma$ - и  $\pi$ -моды излучения. Напомним, что  $\sigma$ -мода характеризует излучение, перпендикулярное направлению внешнего магнитного поля, тогда как  $\pi$ -мода — параллельное. Для планарного ондулятора  $\sigma$ -мода формируется компонентами электрического поля в направлениях осей  $x$  и

з, а  $\pi$ -мода формируется компонентами электрического поля в направлении оси  $y$  (см., например, [19]).

Выделим вклады, соответствующие  $\sigma$ - и  $\pi$ -модам в выражении (16). Это можно сделать следующим образом. Отметим, что скалярное произведение электрического тока  $j^i(x)$  на векторы  $\epsilon_{\mathbf{k}\lambda}^i$  можно интерпретировать как проекцию вектора тока на направления, определяемые векторами поляризации  $\epsilon_{\mathbf{k}\lambda}^i$ :

$$\mathbf{j}_{\mathbf{k}\lambda}(x) = \left[ j^j(x) \epsilon_{\mathbf{k}\lambda}^j \right] \epsilon_{\mathbf{k}\lambda}, \quad (24)$$

$$|\mathbf{j}_{\mathbf{k}\lambda}(x)| = \left[ j^j(x) \epsilon_{\mathbf{k}\lambda}^j \right].$$

Векторы  $j_{\mathbf{k}\lambda}^i(x) = \mathbf{j}_{\mathbf{k}1}(x)$  могут быть разложены на компоненты, направленные по осям  $x$ ,  $y$  и  $z$ ; напомним также, что вектор  $\epsilon_{\mathbf{k}2}$  содержится в плоскости  $xy$ ,

$$\mathbf{j}_{\mathbf{k}1}(x) = \left[ j^j(x) \epsilon_{\mathbf{k}\lambda}^j \right] \times$$

$$\times (\mathbf{x} \cos \varphi \cos \theta + \mathbf{y} \sin \varphi \cos \theta - \mathbf{z} \sin \theta), \quad (25)$$

$$\mathbf{j}_{\mathbf{k}2}(x) = \left[ j^j(x) \epsilon_{\mathbf{k}\lambda}^j \right] (-\mathbf{x} \sin \varphi + \mathbf{y} \cos \varphi).$$

Из (2) следует, что функции  $|y_{\mathbf{k}\lambda}(t)|^2$  могут быть представлены в виде

$$|y_{\mathbf{k}1}(t)|^2 = |y_{\mathbf{k}1}(t)|^2 \times$$

$$\times (\mathbf{x}^2 \cos^2 \varphi \cos^2 \theta + \mathbf{y}^2 \sin^2 \varphi \cos^2 \theta + \mathbf{z}^2 \sin^2 \theta), \quad (26)$$

$$|y_{\mathbf{k}2}(t)|^2 = |y_{\mathbf{k}2}(t)|^2 (\mathbf{x}^2 \sin^2 \varphi + \mathbf{y}^2 \cos^2 \varphi),$$

где мы сохранили квадраты единичных векторов  $\mathbf{x}$ ,  $\mathbf{y}$ ,  $\mathbf{z}$  для того, чтобы отслеживать направления поляризации. Поскольку магнитное поле в планарном ондуляторе направлено по оси  $y$ , вклады от слагаемых, умноженных на  $\mathbf{x}^2$  и  $\mathbf{z}^2$ , соответствуют  $\sigma$ -моде, а вклады от слагаемых, умноженных на  $\mathbf{y}^2$ , соответствуют  $\pi$ -моде.

Таким образом, выражения для энергии, излученной в  $\sigma$ - и  $\pi$ -модах, принимают вид

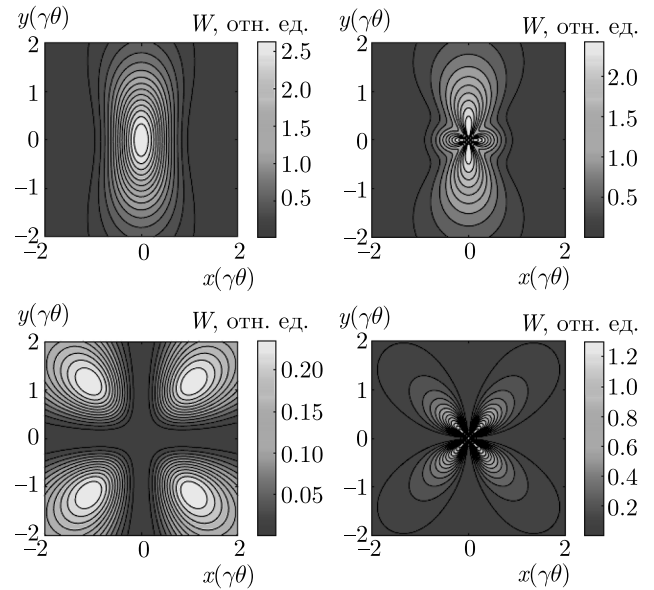


Рис. 2. Пространственное угловое распределение мод  $\sigma$  (сверху) и  $\pi$  (снизу) для первой гармоники, вычисленное классически (слева) и в полуклассическом приближении (справа)

$$W_{\sigma}(t) = \left( \frac{ec\beta_0}{2\pi} \right)^2 \int_0^\infty k_0^2 dk_0 \int_0^\pi \sin \theta d\theta \times$$

$$\times \int_0^{2\pi} d\varphi p_{\mathbf{k}\sigma}(t),$$

$$W_{\pi}(t) = \left( \frac{ec\beta_0}{2\pi} \right)^2 \int_0^\infty k_0^2 dk_0 \int_0^\pi \sin \theta d\theta \times$$

$$\times \int_0^{2\pi} d\varphi p_{\mathbf{k}\pi}(t), \quad (27)$$

$$p_{\mathbf{k}\sigma}(t) = |y_{\mathbf{k}1}(t)|^2 (\cos^2 \varphi \cos^2 \theta + \sin^2 \theta) +$$

$$+ |y_{\mathbf{k}2}(t)|^2 \sin^2 \varphi,$$

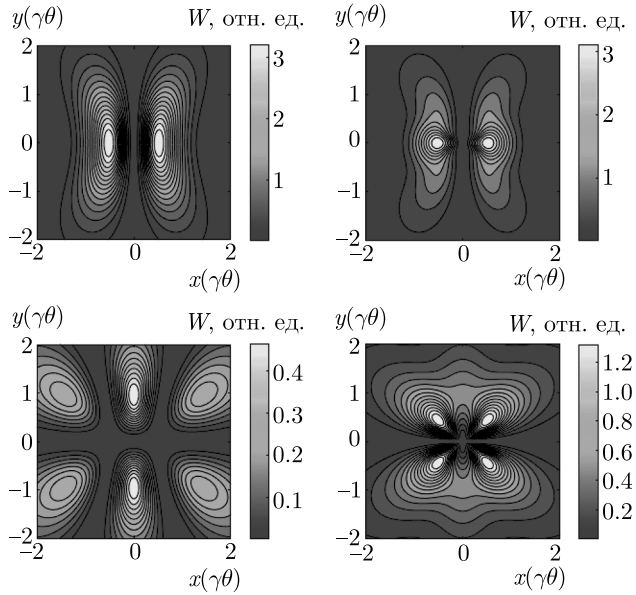
$$p_{\mathbf{k}\pi}(t) = |y_{\mathbf{k}1}(t)|^2 \sin^2 \varphi \cos^2 \theta + |y_{\mathbf{k}2}(t)|^2 \cos^2 \varphi.$$

Легко проверить, что выполняются соотношения

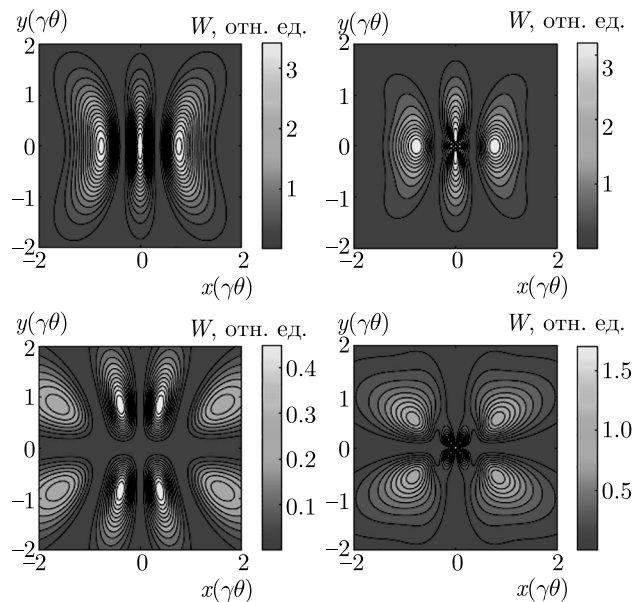
$$p_{\mathbf{k}1}(t) + p_{\mathbf{k}2}(t) = p_{\mathbf{k}\sigma}(t) + p_{\mathbf{k}\pi}(t), \quad (28)$$

$$W(t) = W_{\sigma}(t) + W_{\pi}(t).$$

Мы приводим результаты численного анализа распределений энергии для первых трех гармоник на рис. 2, 3, 4. Мы также отмечаем, что хотя распределение полной излученной энергии в основном совпадает с классическим результатом, полуклассический подход демонстрирует отличающееся и более детальное распределение излученной энергии в  $\pi$ - и  $\sigma$ -модах.



**Рис. 3.** Пространственное угловое распределение мод  $\sigma$  (сверху) и  $\pi$  (снизу) для второй гармоники, вычисленное классически (слева) и в полуклассическом приближении (справа)



**Рис. 4.** Пространственное угловое распределение мод  $\sigma$  (сверху) и  $\pi$  (снизу) для третьей гармоники, вычисленное классически (слева) и в полуклассическом приближении (справа)

В заключение отметим, что выражения для характеристик излучения, полученные в полуклассическом приближении, даже в тех случаях, когда они не отличаются количественно от соответствую-

щих классических выражений, имеют более простой аналитический вид, а их вывод существенно более прост с технической точки зрения.

**Финансирование.** Работа А. А. Ш. поддержана Российским фондом фундаментальных исследований (проект №19-32-60010), работа В. Г. Б. выполнена в рамках программы повышения конкурентоспособности Томского государственного университета. Работа Д. М. Г. поддержана Фондом поддержки исследований штата Сан-Паулу (FAPESP) (грант №2016/03319-6). Работа Д. М. Г. и А. Д. Л. выполнена при поддержке Национального совета по научному и технологическому развитию (CNPq).

## ПРИЛОЖЕНИЕ

### Вычисление излучения в планарном ондуляторе в полуклассическом приближении при использовании альтернативной параметризации траектории

В работе [15] для вычисления излучения было использовано специальное представление траектории электронов, движущихся в планарном ондуляторе. Предполагается, что траектория электронов плоская и симметричная относительно оси  $x$  и состоит из круговых дуг длины  $l$  и радиуса  $R$ . Это представление дает альтернативную параметризацию траектории электронов, движущихся в планарном ондуляторе. Здесь мы применяем полуклассическое приближение, для того чтобы рассчитать излучение электронов, движущихся по такой траектории.

Рассмотрим электроны, движущиеся в периодическом магнитном поле, параллельном оси  $z$ , где для каждого периода магнитное поле однородно и постоянно. Длина ондулятора считается бесконечной. Длина  $l$  каждой из дуг связана с эффективным радиусом кривизны  $R$  через так называемый угол влета,  $\alpha = l/R$ ,  $0 < \alpha < \pi$ . Скорость электронов равна  $v = c\beta = \omega R$ , где  $\omega$  — угловая скорость. Электроны движутся вдоль оси  $x$  со средней скоростью  $v_0 = c\bar{\beta}$  и совершают периодические колебания вдоль осей  $x$  и  $y$ . Это предполагает, что

$$\bar{\beta} = \beta \operatorname{sinc}(\alpha/2), \quad T = 2\pi\omega_0^{-1} = 2\alpha\omega^{-1}, \quad (29)$$

$$\omega_0 = \pi\omega\alpha^{-1} = \pi\beta cl^{-1}.$$

Траектория электронов на временном промежутке  $(0, T)$  может быть представлена в виде [15]

$$\begin{aligned} x(t) &= \\ &= \begin{cases} R[\sin(\alpha/2) + \sin(\omega t - \alpha/2)], & t \in T_1, \\ R[3\sin(\alpha/2) + \sin(\omega t - \alpha/2)], & t \in T_2, \end{cases} \quad (30) \\ y(t) &= \\ &= \begin{cases} R[\cos(\omega t - \alpha/2) - \cos(\alpha/2)], & t \in T_1, \\ R[\cos(\alpha/2) - \cos(\omega t - 3\alpha/2)], & t \in T_2, \end{cases} \end{aligned}$$

где временные интервалы  $T_1$  и  $T_2$  определены как

$$T_1 = [0, T/2]; \quad T_2 = [T/2, T]. \quad (31)$$

Ток  $j^i(x)$ , формирующийся электронами, которые движутся по траектории (30), имеет вид

$$\begin{aligned} j^i(x) &= ev^i(t) \delta(x - x(t)) \delta(y - y(t)) \delta(z - z(t)), \\ v^i(t) &= \dot{r}^i(t) = (\dot{x}(t), \dot{y}(t), 0), \\ \dot{x}(t) &= \begin{cases} \omega R \cos[\alpha/2 - \omega t], & t \in T_1, \\ \omega R \cos[3\alpha/2 - \omega t], & t \in T_2, \end{cases} \quad (32) \\ \dot{y}(t) &= \begin{cases} \omega R \sin[\alpha/2 - \omega t], & t \in T_1, \\ -\omega R \sin[3\alpha/2 - \omega t], & t \in T_2. \end{cases} \end{aligned}$$

Вычислим энергию, излучаемую за один период колебаний  $T$ . Функции  $y_{k\lambda}(t)$  на временном промежутке  $t = T$  могут быть вычислены в виде

$$y_{k\lambda}(T) = y_{k\lambda}(T_1) + y_{k\lambda}(T_2). \quad (33)$$

Используя определения (4) для волнового вектора  $\mathbf{k}$  и векторов поляризации  $\epsilon_{k\lambda}$ , получаем

$$\begin{aligned} y_{k1}(T_j) &= z_j e^{i\phi_j} \cos \theta \int_{\tau_j^{in}}^{\tau_j^{out}} \omega^{-1} d\tau_j \times \\ &\times [c\bar{\beta} \cos \varphi + \omega R \cos \tau_j] \exp[i\boldsymbol{\varkappa}(\tau_j)], \quad (34) \\ y_{k2}(T_j) &= -z_j e^{i\phi_j} \int_{\tau_j^{in}}^{\tau_j^{out}} \omega^{-1} d\tau_j \times \\ &\times [c\bar{\beta} \sin \varphi + (-1)^{j-1} \omega R \sin \tau_j] \exp[i\boldsymbol{\varkappa}(\tau_j)], \end{aligned}$$

где были использованы обозначения

$$\begin{aligned} \boldsymbol{\varkappa}(\tau_j) &= ck_0 \omega^{-1} \tau_j - \xi \sin \tau_j, \quad \xi = R k_0 \sin \theta, \\ z_j &= ie \exp[-i\xi f_j(\varphi, \alpha)] \left[ \hbar c k_0 (2\pi)^2 \right]^{-1/2}, \\ &\quad j = 1, 2, \\ f_1(\varphi, \alpha) &= \sin(\alpha/2) \cos \varphi - \cos(\alpha/2) \sin \varphi, \\ f_2(\varphi, \alpha) &= \cos(\alpha/2) \sin \varphi + 3 \sin(\alpha/2) \cos \varphi, \\ \tau_1 &= \omega t - \alpha/2 + \varphi, \quad \tau_2 = \omega t - 3\alpha/2 - \varphi, \\ \tau_1^{in} &= \varphi - \alpha/2, \quad \tau_1^{out} = \varphi + \alpha/2, \\ \tau_2^{in} &= -\varphi - \alpha/2, \quad \tau_2^{out} = \alpha/2 - \varphi, \\ \phi_1 &= \omega^{-1} \kappa(\alpha/2 - \varphi), \quad \phi_2 = \omega^{-1} \kappa(\varphi + 3\alpha/2). \end{aligned} \quad (35)$$

Применяя известные разложения тригонометрических функций по функциям Бесселя,

$$\begin{aligned} \exp(-i\xi \sin \tau) &= \sum_{n=-\infty}^{+\infty} J_n(\xi) \exp(-int), \\ \sin \tau \exp(-i\xi \sin \tau) &= i \sum_{n=-\infty}^{+\infty} J'_n(\xi) \exp(-int), \\ \cos \tau \exp(-i\xi \sin \tau) &= \\ &= \sum_{n=-\infty}^{+\infty} \frac{n}{\xi} J_n(\xi) \exp(-int), \end{aligned} \quad (36)$$

перепишем (34) как

$$\begin{aligned} y_{k1}(T_j) &= z_j e^{i\phi_j} \times \\ &\times \sum_{n=-\infty}^{+\infty} \cos \theta \left[ n(k_0 \sin \theta)^{-1} + \omega^{-1} c \bar{\beta} \cos \varphi \right] \times \\ &\times J_n(\xi) K_n(T_j), \quad (37) \\ y_{k2}(T_j) &= -z_j e^{i\phi_j} \sum_{n=-\infty}^{+\infty} \left[ \omega^{-1} c \bar{\beta} \sin \varphi J_n(\xi) + \right. \\ &\left. + (-1)^{j-1} i R J'_n(\xi) \right] K_n(T_j), \end{aligned}$$

где функции  $K_n(T_j)$  имеют вид

$$\begin{aligned} K_n(T_j) &= \int_{\tau_j^{in}}^{\tau_j^{out}} d\tau_j \exp[i(\omega^{-1} c k_0 - n)\tau_j] = \\ &= \exp \left[ (-1)^j i(\omega^{-1} c k_0 - n) \varphi \right] \times \\ &\times \frac{\sin[(\omega^{-1} c k_0 - n)/2]}{(\omega^{-1} c k_0 - n)/2}. \quad (38) \end{aligned}$$

Функции  $p_{k\lambda}(T)$  на интервале  $T$  имеют вид

$$p_{k\lambda}(T) = |y_{k\lambda}(T)|^2 = |y_{k\lambda}(T_1) + y_{k\lambda}(T_2)|^2. \quad (39)$$

Подставляя выражения (37) в (39), получим

$$\begin{aligned} p_{\mathbf{k}1}(T) &= \left| \sum_{n=-\infty}^{+\infty} \left[ n(k_0 \sin \theta)^{-1} + \omega^{-1} c \bar{\beta} \cos \varphi \right] \times \right. \\ &\quad \left. \times \cos \theta J_n(\xi) S_1 \right|^2, \\ p_{\mathbf{k}2}(T) &= \left| \sum_{n=-\infty}^{+\infty} [\omega^{-1} c \bar{\beta} \sin \varphi J_n(\xi) S_1 + \right. \\ &\quad \left. + i R J'_n(\xi) S_2] \right|^2, \\ S_1 &= z_1 e^{i\phi_1} K_n(T_1) + z_2 e^{i\phi_2} K_n(T_2), \\ S_2 &= z_1 e^{i\phi_1} K_n(T_1) - z_2 e^{i\phi_2} K_n(T_2). \end{aligned} \quad (40)$$

Полная излученная энергия  $W(T)$ , таким образом, равна

$$\begin{aligned} W(T) &= \int_0^{\infty} k_0^2 dk_0 \int_0^{\pi} \sin \theta d\theta \times \\ &\quad \times \int_0^{2\pi} d\varphi [p_{\mathbf{k}1}(T) + p_{\mathbf{k}2}(T)], \end{aligned} \quad (41)$$

где  $p_{\mathbf{k}1}(T)$  и  $p_{\mathbf{k}2}(T)$  заданы выражениями (40).

## ЛИТЕРАТУРА

1. F. R. Elder, A. M. Gurevitch, R. V. Langmuir et al., Phys. Rev. **71**, 829 (1947).
2. H. E. Huxley, A. R. Faruqi, J. Bordas et al., Nature **284**, 140 (1980); L. Chen, K. L. Durr, and E. Gouaux, Science **345**, 1021 (2014); S. Kneip, C. McGuffey, F. Dollar et al., Appl. Phys. Lett. **99**, 093701 (2011); G. N. Afanasiev, *Vavilov-Cherenkov and Synchrotron Radiation: Foundations and Applications*, Springer-Verlag, New York (2004); H. Saisho and Y. Gohshi, *Applications of Synchrotron Radiation to Materials Analysis*, Elsevier, Amsterdam (1996); M. Kono, *Medical Applications of Synchrotron Radiation*, ed. by M. Ando and C. Uyama, Springer, Tokyo (1998).
3. V. L. Ginsburg, Izv. Akad. Nauk. SSSR, Ser. Fiz. **11**, 165 (1947).
4. N. A. Korkhmazyan and S. S. Elbakyan, Dokl. Akad. Nauk SSSR **203**, 791 (1972).
5. H. Motz, J. Appl. Phys. **22**, 527 (1951).
6. G. A. Schott, Phil. Mag. **13**, 657 (1907); Ann. Phys. **329**, 635 (1907); *Electromagnetic Radiation*, Cambridge University Press, Cambridge (1912).
7. J. Schwinger, Phys. Rev. **75**, 1912 (1949).
8. J. Schwinger, Proc. Nat. Acad. Sci. **40**, 132 (1954).
9. A. A. Sokolov and I. M. Ternov, Sov. Phys. JETP **4**, 396 (1957); *Synchrotron Radiation*, Academic Verlag, Berlin (1968); *Radiation from Relativistic Electrons*, American Institute of Physics, New York (1986).
10. W. H. Furry, Phys. Rev. **81**, 115 (1951); R. P. Feynman, Phys. Rev. **76**, 749 (1949); D. M. Gitman, Izv. Vuzov Fizika **19**, 81 (1976); Izv. Vuzov Fizika **19**, 86 (1976); J. Phys. A **10**, 2007 (1977); in *Quantum Electrodynamics with External Fields*, ed. by D. M. Gitman, Izd. TGU, Tomsk (1977), p. 132.
11. J. Schwinger, *Particles, Sources and Fields*, Addison-Wesley, Massachusetts (1970) Vol. 1; (1973) Vol. 2.
12. J. Schwinger, Phys. Rev. D **7**, 1696 (1973).
13. V. G. Bagrov, D. M. Gitman, A. A. Shishmarev et al., J. Synchrotron Rad. **27**, 902 (2020).
14. D. F. Alferov, Y. A. Bashmakov, K. A. Belovintsev et al., Particle Accelerators **9**, 223 (1979); D. F. Alferov, Y. A. Bashmakov, and P. A. Cherenkov, Sov. Phys. Usp. **32**, 200 (1989); D. F. Alferov, Y. A. Bashmakov, and E. G. Bessonov, Preprint FIAN **23**, 1 (1972); Preprint FIAN **118**, 1 (1975); Zh. Tekh. Fiz. **46**, 2392 (1976); Sov. Phys.-Tech. Phys. **18**, 1336 (1974).
15. V. G. Bagrov, V. R. Khalilov, A. A. Sokolov et al., Annalen der Physik **30**, 1 (1973).
16. V. G. Bagrov, D. M. Gitman, A. A. Sokolov et al., J. Technic. Fiz. XLV **9**, 1948 (1975).
17. V. N. Baier and V. M. Katkov, Zh. Eksp. Teor. Fiz. **53**, 1478 (1968); V. N. Baier, V. M. Katkov, and V. M. Strakhovenko, Zh. Eksp. Teor. Phys. **63**, 2121 (1973).
18. S. Krinsky, IEEE Trans. Nucl. Sci. **307**, 3078 (1983).
19. H. Wiedemann, *Synchrotron Radiation*, Springer-Verlag, Berlin (2003).
20. I. S. Gradshteyn and I. M. Ryzhik, *Table of Integrals, Series, and Products*, 7 ed., Academic Press, New York (2007).